

# ФИЗИЧЕСКИЕ ОСНОВЫ ПОЛУПРОВОДНИКОВ И ДИЭЛЕКТРИКОВ.

## ЛЕКЦИЯ 1.

### Основные темы курса:

1. Оптические эффекты в прозрачном материале, нелинейные оптические эффекты.
2. Понятие об излучении электромагнитного поля (ЭМП), принцип работы лазера, свойства лазеров.
3. Фотоэлектрические явления в веществе. Тоннельный эффект.
4. Внутренняя структура твёрдых тел. Понятие оnanoструктурных материалах.

### Тематика лабораторных работ (3 л.р. на студента):

1. Изучение нелинейных эффектов в оптически прозрачном материале. Вынужденное рассеяние Мандельштама-Бриллюэна.
2. Изучение свойств активной лазерной среды. Статистические распределения электронов.
3. Изучение модового состава поля. Тоннельный эффект в полупроводниках.

### Базовая литература по курсу (15 лекций, зачёт на 16-ой лекции):

1. Матвеев А.И. Оптика. 1985 г.
2. Ярив Г. Квантовая электроника и нелинейная оптика. 1988 г.
3. Епифанов Г.И. Физика твёрдого тела. 1975 г.

Отметим, что в настоящем курсе имеет место частичное повторение материала с текущими или ранее читавшимися курсами. Данний **предмет** представляет **физическую направленность** и ставит целью дать **основы физического представления** явлений, происходящих в системах телекоммуникаций.

### ПОНЯТИЕ «ВОЛНА», ЭМ и АКУСТИЧЕСКИЕ волны.

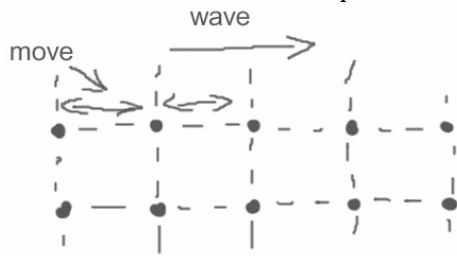
**Волновой процесс** характеризуется **периодическим изменением** физической величины (в общем случае не обязательно по гармоническому закону) **со временем и передачей (распространением)** этого изменения **в пространстве**.

В основном волновой процесс – гармоническое изменение физической величины.

В **нелинейном случае** кроме первой **появляются высшие гармоники** и имеет место отклонение колебаний от гармонического закона.

### Принципиальное отличие ЭМ и акустических волн:

**Акустическая волна** – распространение в пространстве механического движения частиц вещества. Если при своём механическом движении частица приводит в движение



соседние частицы, то **возникает общее движение частиц** в виде волны. В этом случае **меняющаяся физическая величина – координата частицы**.

В этом случае **направление изменения этой физической величины** (коорд. частицы) и **направление распространения волны совпадают**. Волна не имеет поляризации.

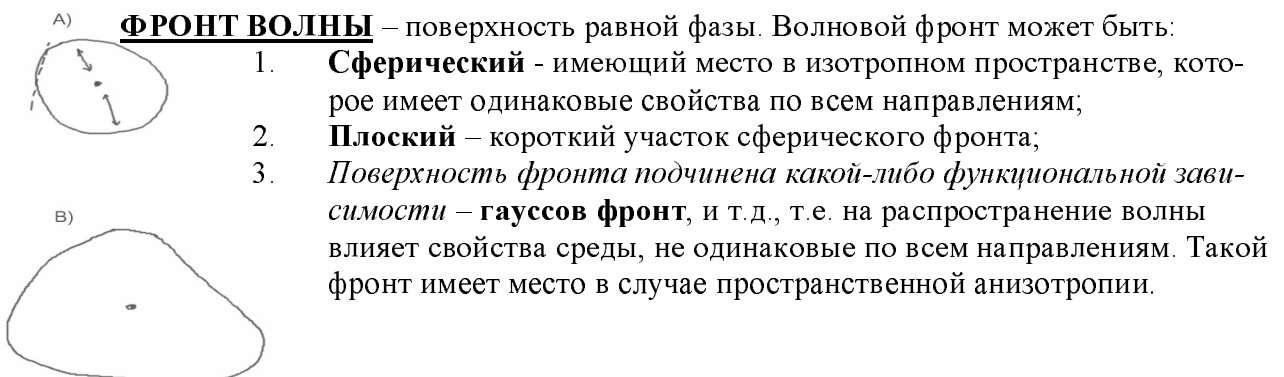
**Электромагнитная волна** – это процесс распространения ЭМ поля в пространстве.

**Меняющаяся со временем** физическая величина – **амплитуда электрического и амплитуда магнитного полей**. Направления изменения этих физических величин перпендикулярны направлению движения волны.

Имеет физический смысл говорить о том, *каким образом ориентированы изменения*  $dE/dt$  и  $dH/dt$  в пространстве. Это и определяет *поляризацию ЭМ волны*.

Формализованная запись волнового процесса:  $U = U_m \cdot \sin(\omega \cdot t - \vec{k} \cdot \vec{r})$ .

$|\vec{k}| = \frac{2\pi}{\lambda}$ , - модуль волнового вектора;  $\omega = 2\pi f$ , - круговая частота;  $f = 1/T$ , - линейная частота, и  $\lambda = c \cdot T$  – длина волны (длина периода волновых колебаний).



#### Физические свойства волн:

1. Отражение и преломление,
2. Суперпозиция – сложение с учётом **фазы, направления волнового вектора** в пространстве, и **направления поляризации**. Это свойство именуется также интерференцией волн.
3. Свойство распространения как от первичных, так и вторичных источников. Это свойство именуется **дифракцией**. Свойство дифракции позволяет менять направление распространения волны (направл. волн. вектора) в процессе распространения и **ОГИБАТЬ ПРЕПЯТСТВИЯ**.

Важный результат свойства ИНТЕРФЕРЕНЦИИ – создание стоячей волны.

Интерференция возможна в:

1. малой области пространства:  $r \ll \lambda$ ,
2. в значительной по размерам области пространства:  $r \sim \lambda$ ,  $r > \lambda$ .
3. Случай  $r \gg \lambda$  не имеет места на практике из-за ограниченной когерентности любой волны. Когерентность является необходимым условием для создания устойчивой интерференционной картины.



Интерференция на плоскости – проекция пространственной интерференционной картины на экран

**Когерентность** – это свойство *приблизительного соответствия частот и амплитуд* интерферирующих волн, *а также медленного изменения фазы* ( $\Delta\phi/\Delta t \ll f$ ).

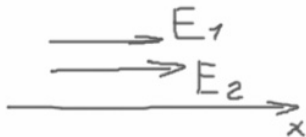
Иными словами - фаза волны не должна меняться скачком. Это имеет место в сре-де с плавно меняющимися характеристиками (в отсутствии границ раздела, и т.д.).

#### Базовые подходы к моделированию физических процессов с учётом волн:

1. *Лучевой подход* (метод геометрической оптики –  $\lambda \ll r$ ),
2. *Волновой подход* ( $\lambda < r$  и  $\lambda \sim r$ ),
3. *Квантовый подход* ( $\lambda > r$ ).

#### Сложение ЭМ волн.

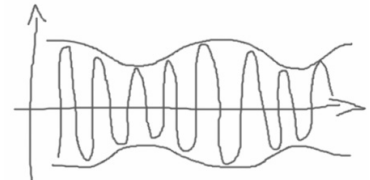
Пусть имеются две однодirectionalные волны:  $E_1 = E_{01} \cdot \cos(\omega_1 \cdot t - k_1 \cdot x)$ , и



$$E_2 = E_{02} \cdot \cos(\omega_2 \cdot t - k_2 \cdot x),$$

Суммарная напряжённость поля в области со-направленного распространения волн имеет вид (пусть  $E_{01} \approx E_{02}$ ):

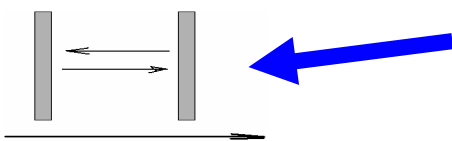
$$E = E_1 + E_2 = E_0 \cdot (\cos(\omega_1 \cdot t - k_1 \cdot x) + \cos(\omega_2 \cdot t - k_2 \cdot x)) = 2E_0 \cdot \cos\left[\frac{\omega_1 - \omega_2}{2} \cdot t - \frac{k_1 - k_2}{2} \cdot x\right] \times \\ \times \cos\left[\frac{\omega_1 + \omega_2}{2} \cdot t - \frac{k_1 + k_2}{2} \cdot x\right]$$



Результат такого сложения представляется в виде БИЕНИЙ:

Важным понятием в области интерференции и сложения ЭМ волн является понятие СТОЯЧИХ ВОЛН – результат пространственной интерференции.

Явление **стоячих волн** возникает из-за *противоположного распространения* (на-пример, в резонаторе) близких по параметрам волн:



Полупрозрачные зеркала, ИФП, коэффициенты отражения, резонатор, добротность резонатора, зависимость добротности от коэффициентов отражения

Прямая волна:  $E_{\text{пр}} = E_0 \cdot \cos(\omega \cdot t - k \cdot x)$ , обратная волна:  $E_{\text{обр}} = E_0 \cdot \cos(\omega \cdot t + k \cdot x + \delta)$ ,

Аналогично предыдущим выкладкам получаем результат сложения:

$$E = E_1 + E_2 = 2E_0 \cdot \left( k \cdot x + \frac{\delta}{2} \right) \cdot \cos\left(\omega \cdot t + \frac{\delta}{2}\right).$$

Черты, отличающие бегущую и стоячую волны:

1. Видно, что **отсутствует сомножитель  $t \pm x/c$**  – обеспечивающий изменение фазы колебаний на протяжении волны. Так **вся стоячая волна есть поверхность равной фазы**.
2. Сомножитель  $(k \cdot x + \delta/2)$  характеризует амплитуду колебаний в точке  $x$ .

Таким образом, **напряжённость поля** во всех точках пространства, занятого стоячей волной, **изменяется с одинаковой частотой**.

### ВОЛНОВЫЕ ПАКЕТЫ

*Волновой пакет – результат устойчивого сложения двух волн.*

Рассмотрим сложение двух волн:  $E_1 = E_0 \cdot \cos(\omega_1 \cdot t - k_1 \cdot x)$  и  $E_2 = E_0 \cdot \cos(\omega_2 \cdot t - k_2 \cdot x)$ ,

**Волновой пакет** будет существовать и **устойчиво распространяться** в пространстве, если его **фазовая скорость будет неизменна**:  $\omega \cdot t - k \cdot x = \text{const}$

Скорость движения волнового пакета = скорости движения огибающей ≡ групповая скорость

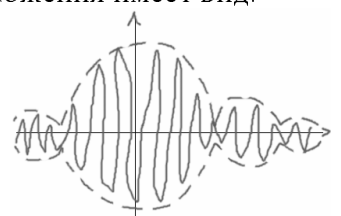
$$\text{ГРУППОВАЯ СКОРОСТЬ} = \frac{d\omega}{dk}$$

**ФАЗОВАЯ СКОРОСТЬ** – это скорость движения поверхности равной фазы и  $v_\Phi = \frac{dx}{dt}$

Исходя из того, что рассматривалось по отношению к сложению волн, можно записать:

$$E = E_1 + E_2 = 2E_0 \cdot \cos\left[\frac{\omega_1 - \omega_2}{2} \cdot t - \frac{k_1 - k_2}{2} \cdot x\right] \times \cos\left[\frac{\omega_1 + \omega_2}{2} \cdot t - \frac{k_1 + k_2}{2} \cdot x\right]$$

Параметры  $\omega_1$ ,  $k_1$ ,  $\omega_2$  и  $k_2$  в данном случае таковы, что результат сложения имеет вид:



Волновой пакет будет распространяться устойчиво, если  $\frac{\omega_1 - \omega_2}{2} \cdot t - \frac{k_1 - k_2}{2} \cdot x = const$

После дифференцирования

$$\text{по времени получаем: } v_{\Phi} = \frac{dx}{dt} = \frac{\omega_1 - \omega_2}{|\vec{k}_1| - |\vec{k}_2|}$$

Если **отсутствует дисперсия** (про дисперсию – на следующей лекции), т.е. **вещество**, в котором движется волновой пакет, **обладает одинаковыми свойствами для разных длин волн**, то **ФАЗОВАЯ СКОРОСТЬ = ГРУППОВОЙ СКОРОСТИ**

Можно ещё и так сказать:

Групповая скорость – это скорость совместного движения составляющих слагаемых.

При **наличии дисперсии** разные слагаемые **движутся с разными скоростями и форма** (огибающая) волнового пакета **меняется со временем**.

## ВИДЫ ПОЛЯРИЗАЦИИ ЭЛЕКТРОМАГНИТНЫХ ВОЛН

- 1). **Плоско-поляризованные** волны – вектор  $E$  (и  $H$ ) в процессе распространения остаётся в одной плоскости,
- 2). **Круговая** или **эллиптическая** поляризация – конец вектора  $E$  описывает эллипс или круг в процессе распространения волны.

Эллиптическая поляризация – результат сложения плоско-поляризованных волн, распространяющихся в одном направлении, имеющих близкие амплитуды и некоторый сдвиг фаз между колебаниями:

$$E_1 = E_{01} \sin(\omega \cdot t - k \cdot x), \\ E_2 = E_{02} \sin(\omega \cdot t - k \cdot x + \delta),$$

Перепишем второе выражение:  $E_2 = E_{02} \sin(\omega \cdot t - k \cdot x) \cos(\delta) + E_{02} \cos(\omega \cdot t - k \cdot x) \sin(\delta)$

Из первого выражения можно записать:  $\frac{E_1}{E_{01}} = \sin(\omega \cdot t - k \cdot x)$ , подставим:

$$E_2 = E_{02} \cdot \frac{E_1}{E_{01}} \cdot \cos(\delta) + E_{02} \cdot \sin(\delta) \cdot \sqrt{1 - \frac{E_1^2}{E_{01}^2}}$$

После того, как разделим на  $E_{02}$ , получаем:  $\frac{E_2}{E_{02}} = \frac{E_1}{E_{01}} \cdot \cos(\delta) + \sin(\delta) \cdot \sqrt{1 - \frac{E_1^2}{E_{01}^2}}$

Переносим первое слагаемое в левую часть:  $\frac{E_2}{E_{02}} - \frac{E_1}{E_{01}} \cdot \cos(\delta) = \sin(\delta) \cdot \sqrt{1 - \frac{E_1^2}{E_{01}^2}}$  и далее возводим всё выражение в квадрат. После чего получаем:

$$\frac{E_2^2}{E_{02}^2} - 2 \cdot \frac{E_1}{E_{01}} \cdot \frac{E_2}{E_{02}} \cdot \cos(\delta) + \frac{E_1^2}{E_{01}^2} \cdot \cos^2(\delta) = \sin^2(\delta) \cdot \left[ 1 - \frac{E_1^2}{E_{01}^2} \right]$$

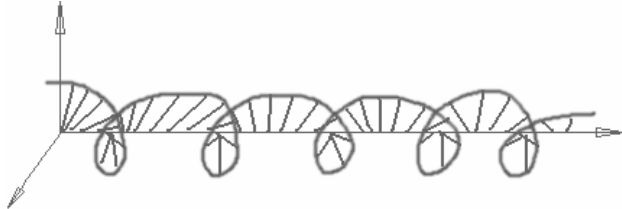
Раскрывая квадратные скобки под знаком синуса в правой части выражения, перенося в левую часть дробь и объединяя слагаемые  $\frac{E_1^2}{E_{01}^2} \cdot \cos^2(\delta)$  и  $\frac{E_1^2}{E_{01}^2} \cdot \sin^2(\delta)$ , получаем:

$$\frac{E_2^2}{E_{02}^2} - 2 \cdot \frac{E_1}{E_{01}} \cdot \frac{E_2}{E_{02}} \cdot \cos(\delta) + \frac{E_1^2}{E_{01}^2} = \sin^2(\delta) \quad (1)$$

Если параметр  $\delta (= \pm\pi/2)$  таков, что  $\cos(\delta) = 0$  и одновременно  $\sin(\delta) = \pm 1$

То уравнение (1) представляет эллипс. Если дополнительно  $E_{01} = E_{02}$  – то окружность.

Появление параметра  $\delta \neq 0$  происходит в веществе, волна как-бы «поворачивается»:



Всё остаётся справедливым и наоборот: любую **волну с круговой или эллиптической поляризацией** можно разложить **на две составляющие с линейной поляризацией**.



Вопрос: почему рассмотрение ведётся относительно  $E$ , а не относительно  $H$ , и все опто-электронные приборы реагируют на электрическую составляющую, а не на магнитную ?

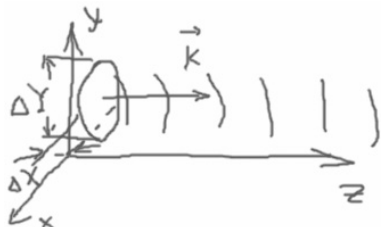
## ЛЕКЦИЯ 2.

## РАССЕЯНИЕ СВЕТА

**Рассеяние света** – это *перераспределение световой энергии* (относительно её первоначального состояния) с изменением параметров излучения:

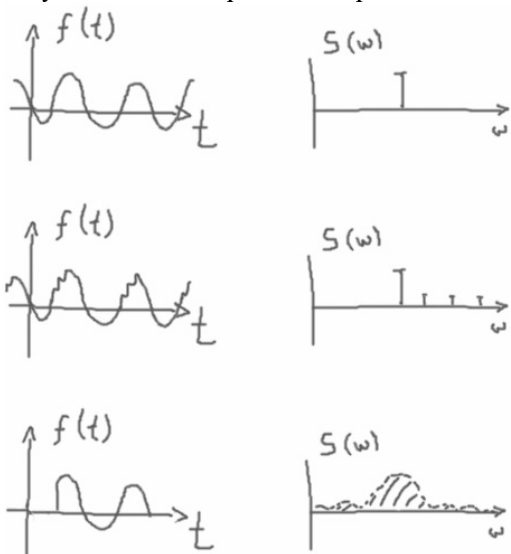
1. направления волновых векторов,  $\Rightarrow$  появление  $\Delta k$ ,
2. частоты  $\omega$   $\Rightarrow$  появление  $\Delta\omega$ .

Случай  $\Delta k = 0$  и  $\Delta\omega = 0$  справедлив только для *неограниченной в пространстве* (а значит и во времени) *волны с плоским фронтом*.



- ✓ Ограничения по координате z («обрыв» волны) приводят к немоногохроматичности  $\Rightarrow \Delta\omega$ .
- ✓ Неплоскость фронта или ограничения по координатам x и y  $\Rightarrow$  к конечной ширине волновых чисел  $\Delta k_x$  и  $\Delta k_y$ .

Появление Д $\omega$  связано с уширением спектра излучения из-за «усложнения» вида функции. Это непосредственно следует из Фурье-анализа: бесконечная синусоида имеет единственную гармонику – она же сама ею и является; «отрезок» синусоиды – как единичный импульс имеет строго говоря бесконечно много гармоник:

Напомним:

1. бесконечная по времени **гармоническая функция** имеет одну гармонику в частотной области,
2. **периодическая негармоническая функция** имеет ограниченный линейчатый спектр,
3. **непериодическая функция** – т.е. одиночный импульс (прямоугольный, синусоидальный или любой другой) имеет бесконечный сплошной спектр. Сосредоточение спектральной энергии зависит от формы этого импульса – чем дальше форма от периодической, тем более распределена спектральная энергия по частотам.

Критерий квазимохроматичности:  $\Delta\omega \ll \omega$

Волна с **конечным** (не равным нулю) поперечным сечением пучка **не может** распространяться **строго в одном направлении**, характеризующимся  $\vec{k}$ . Обязательно имеет место разброс  $\Delta\vec{k}_x$  и  $\Delta\vec{k}_y$ , что и приводит к дифракции.

Для получения критерия квазиплоской волны представим энергию волны ( $\mathcal{E}$ ) в виде интеграла Фурье:

$$\mathcal{E}(x, y, z, t) = \frac{1}{(2\pi)^4} \cdot \iiint_{x y z \omega} E(k_x, k_y, k_z, \omega) \cdot \exp[-j \cdot (\omega t - \vec{k} \cdot \vec{r})] \cdot dk_x \cdot dk_y \cdot dk_z \cdot d\omega$$

$E$  – амплитуда волны

**Очевидно, что интеграл должен быть сходящимся.**

Это возможно (при конечном не равном нулю значении амплитуды  $E$  и одновременно бесконечном направлении  $z$ , вдоль которого распространяется волна):

1. **область пространства**, по которой берутся интегралы, **очень мала**, при этом **распределение амплитуды по направлениям  $\vec{k}$  является произвольным**, и
2. **область пространства**, в котором расположена волна и по которому берутся интегралы – **является произвольной**, но амплитуда  $E$  **отлична от нуля** лишь в **узком интервале** чисел:  $\Delta k_x$  и  $\Delta k_y$  вблизи значений  $k_x = 0$  и  $k_y = 0$ .

Если  $|2\Delta k_x| \ll k_z$  и  $|2\Delta k_y| \ll k_z$  – волна КВАЗИПЛОСКАЯ.

Под вектором  $\vec{k}$  понимается средний волновой вектор.

Условие, когда можно произвольный фронт заменить ПЛОСКИМ фронтом:

Линейные размеры участка фронта должны быть меньше ширины (длины) когерентности:

$$r \sim l_{\text{ког}} \quad \text{или} \quad r < l_{\text{ког}}$$

Длина когерентности – расстояние, на котором сохраняется когерентность.

$$\text{Время когерентности} \quad \tau_{\text{ког}} = l_{\text{ког}} / c.$$

## РАСПРОСТРАНЕНИЕ ЭЛЕКТРОМАГНИТНОГО ПОЛЯ В ДИЭЛЕКТРИКАХ

Рассмотрим случай, когда относительная диэлектрическая проницаемость  $\epsilon$  не зависит от координат и является постоянной.

Вектор электрической индукции в диэлектрике:  $\vec{D} = \epsilon \cdot \epsilon_0 \cdot \vec{E}$

$$\text{В немагнитной среде фазовая скорость волн } v_{\Phi} = \frac{1}{\sqrt{\epsilon \epsilon_0 \mu \mu_0}} = \frac{c}{n}$$

$n = \sqrt{\epsilon}$  – коэффициент преломления прозрачного диэлектрика относительно вакуума. и  $\lambda = v_{\Phi} \cdot T$ .

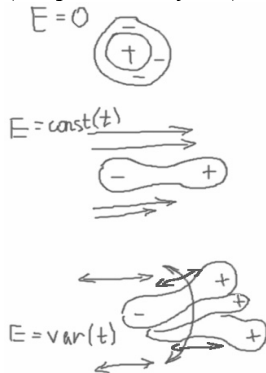
Среднее значение плотности потока энергии:  $\langle \Pi \rangle = \frac{1}{2} v_{\Phi} \cdot (\vec{E} \cdot \vec{D} + \vec{B} \cdot \vec{H})$  или

$$\langle \Pi \rangle = \frac{\nu_{\Phi} \epsilon \epsilon_0 E_0^2}{2}$$

ВАЖНЕЙШЕЕ ФИЗИЧЕСКОЕ СВОЙСТВО прозрачных диэлектриков - дисперсия:

### Зависимость фазовой скорости распространяющейся волны от частоты этой волны

Это есть следствие зави  
В отсутствии внешнего электрического поля положительный и (не равной нулю) массы отрицательный центры молекулы совмещены.



При наличии электростатического поля получается диполь - молекула меняет форму – положительный центр смещается относительно отрицательного. Молекула **ПОЛЯРИЗУЕТСЯ**.

Если эл. поле меняется со временем, то и молекула участвует одновременно в двух движениях: **меняет свою поляризацию** и одновременно **поворачиваясь вокруг оси момента инерции**.

Какое из движений преобладает – зависит от частоты изменения  $E(t)$ , т.е. от частоты поля.

Очевидно, что от частоты света, падающего на вещество, зависит механическая реакция молекул, это и есть физическая причина дисперсии.

Движение электрона в диэлектрике описывается уравнением:

$$m \cdot \ddot{x} + m \cdot \gamma \cdot \dot{x} + m \cdot \omega_0^2 \cdot x = e \cdot E, \text{ которое имеет решение: } x = \frac{e}{m} \cdot \frac{E}{\omega_0^2 - \omega^2 + j\omega\gamma}$$

Здесь  $E$  – напряжённость внешнего электрического поля.

$$e = 1.6 \cdot 10^{-19} \text{ Кл, } m = 9 \cdot 10^{-31} \text{ кг.}$$

$\gamma$  – коэффициент, характеризующий сопротивление движению электрона, и связан с удерживающей силой в атоме (молекуле).

Дипольный момент атома (единичный, обозначен  $p$ ) со смещённым из положения равновесия электроном в точку  $x$  равен:

$$p = e \cdot x = \frac{e^2}{m} \cdot \frac{E}{\omega_0^2 - \omega^2 + j\omega\gamma}$$

Поляризация объёма вещества, зависящая от времени, равна:

$$P = N \cdot p = \frac{N \cdot e^2}{m} \cdot \frac{E(t)}{\omega_0^2 - \omega^2 + j\omega\gamma} = \epsilon_0 \cdot \aleph^{(1)} \cdot E(t)$$

$N$  – концентрация электронов с собственной частотой колебаний  $\omega_0$ .

$\aleph^{(1)} = \frac{N \cdot e^2}{m} \cdot \frac{1}{\omega_0^2 - \omega^2 + j\omega\gamma} \cdot \frac{1}{\epsilon_0}$  – линейная комплекснозначная диэлектрическая восприимчивость.

Очевидно, что в веществе существуют электроны и с другой собственной частотой. В этом случае следует брать:  $N = \sum_i N_i$  и

$$\aleph^{(1)} = \frac{e^2}{m} \cdot \frac{1}{\epsilon_0} \cdot \left[ \frac{N_1}{\omega_{01}^2 - \omega^2 + j\omega\gamma} + \frac{N_2}{\omega_{02}^2 - \omega^2 + j\omega\gamma} + \dots \right] \text{ от } \omega_{01} \text{ до } \omega_{0i}.$$

На частотах  $\omega_{0i}$  имеют место РЕЗОНАНСЫ ПОГЛОЩЕНИЯ.

В прозрачном диэлектрическом материале справедливо следующее:

$$\vec{D} = \epsilon \cdot \epsilon_0 \cdot \vec{E} = \epsilon_0 \cdot \vec{E} + \vec{P}$$

  
Происходит наложение внешнего поля и поля от поляризованных молекул

Абсолютная диэлектрическая проницаемость равна:

$$\epsilon_{abc} = \epsilon_0 + \frac{N \cdot e^2}{m} \cdot \frac{1}{\omega_0^2 - \omega^2 + j\omega\gamma}$$

Тогда  $n^2 = \epsilon = \epsilon_{abc} - \epsilon_0 = 1 + \frac{N \cdot e^2}{m} \cdot \frac{1}{\omega_0^2 - \omega^2 + j\omega\gamma} \cdot \frac{1}{\epsilon_0}$  (2)

Видно, что коэффициент преломления  $n$  – комплексная величина.

Обозначим его действ. и мнимую части:  $n = n_{Re} + j \cdot \xi$

Возведём в квадрат это выражение и отделим действительную и мнимую части:

$$n^2 = (n_{Re} + j \cdot \xi)^2 = n_{Re}^2 - \xi^2 + 2j \cdot n_{Re} \cdot \xi$$

Аналогичное отделение мнимой от действительной части проделаем с выражением (2):

$$\begin{aligned} n^2 &= 1 + \frac{N \cdot e^2}{m} \cdot \frac{1}{\omega_0^2 - \omega^2 + j\omega\gamma} \cdot \frac{1}{\epsilon_0} = 1 + \frac{N \cdot e^2}{m \cdot \epsilon_0} \cdot \frac{(\omega_0^2 - \omega^2 - j\omega\gamma)}{(\omega_0^2 - \omega^2 + j\omega\gamma) \cdot (\omega_0^2 - \omega^2 - j\omega\gamma)} = \\ &= 1 + \frac{N \cdot e^2}{m \cdot \epsilon_0} \cdot \frac{\omega_0^2 - \omega^2}{(\omega_0^2 - \omega^2)^2 + (\omega\gamma)^2} - j \cdot \frac{N \cdot e^2}{m \cdot \epsilon_0} \cdot \frac{\omega\gamma}{(\omega_0^2 - \omega^2)^2 + (\omega\gamma)^2} \end{aligned}$$

Отсюда действительная часть квадрата  $n$  равна:

$$n^2 \Big|_{Re} = n_{Re}^2 - \xi^2 = 1 + \frac{N \cdot e^2}{m \cdot \epsilon_0} \cdot \frac{\omega_0^2 - \omega^2}{(\omega_0^2 - \omega^2)^2 + (\omega\gamma)^2}$$

Физический смысл  $\gamma$  – собственная ширина линии излучения, это очень малая величина, то

$$(\omega_0^2 - \omega^2)^2 \gg (\omega\gamma)^2 \quad \text{и} \quad \xi(\omega \neq \omega_0) \equiv 0, \text{ тогда}$$

$$n(\omega)^2 \Big|_{\text{Re}} = 1 + \frac{e^2}{m \cdot \epsilon_0} \cdot \sum_i \frac{N_i}{\omega_{0i}^2 - \omega^2} \quad (3)$$

Таким образом, величина  $n$  зависит от частоты света  $\omega$ .

Всё тоже самое справедливо не только для электронов, но и для ионов. Отличие в том, что их собственные частоты гораздо ниже (в дальней инфракрасной области и далее к СВЧ диапазону).

В видимой области спектра лежат частоты электронов.



Вопрос: какова физическая причина того, что в коротковолновую часть спектра эти резонансы уходят лишь до определённой границы? Т.е. имеет место некоторая верхняя частота  $\omega_{0i}$ , свыше которой уже нет частот резонансов электронов? А какие резонансы там возможны?

### НОРМАЛЬНАЯ И АНОМАЛЬНАЯ ДИСПЕРСИИ

Во многих оптически прозрачных веществах  $n(\omega) \approx 1$ , тогда

$n^2 - 1 = (n - 1)(n + 1) \approx 2(n - 1)$  и выражение (3) упрощается.

$$n(\omega) \approx 1 + \frac{e^2}{2m \cdot \epsilon_0} \cdot \sum_i \frac{N_i}{\omega_{0i}^2 - \omega^2}$$

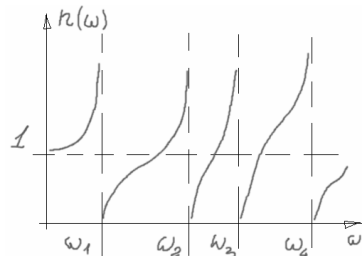
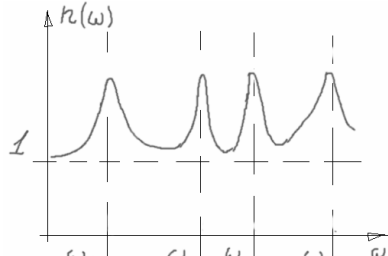


График этой функции имеет следующий вид:

Заметим, что везде  $n(\omega)$  – растёт, т.е.  $\frac{dn}{d\omega} > 0$  - критерий нормальной дисперсии.

Но мы предположили, что  $\gamma = 0$ , в действительности это не так, и с учётом этого график



имеет вид:  $\frac{dn}{d\omega} < 0$ . Области, где  $\frac{dn}{d\omega} < 0$  называются аномальной дисперсией.

**Существует статический и динамический показатель преломления:**

Статический – в случае  $\omega \ll \omega_{0i}$ , и динамический:  $\omega \sim \omega_{0i}$  или  $\omega > \omega_{0i}$

**Статический показатель преломления** в основном связан с **процессом переворота молекул**, **динамический – с процессом поворота**.

Для коротковолнового диапазона для  $\omega > \omega_{0i}$  (ультрафиолетовый, рентгеновский диапазоны) прозрачный диэлектрик становится **МЕНЕЕ ПЛОТНЫЙ**, чем вакуум ! и  $n < 1$ .

Фазовая скорость излучения там вроде-бы превышает скорость света в вакууме.

Это вроде-бы связано с так называемым **ТОРМОЗНЫМ** излучением (Вавилова-Черенкова).

**Далее рассмотрим, на что влияет мнимая часть показателя преломления.**

Вектор эл. поля световой волны:  $E(x, t) = E_0 \cdot e^{-j(\omega t - kx)}$  (4)

Вспомним, что  $k = \frac{\omega}{v_\Phi} = \frac{\omega \sqrt{\epsilon_{abc}(\omega)}}{c}$ , кроме этого:  $\sqrt{\epsilon_{abc}(\omega)} = n_{Re} + j \cdot \xi$

После подстановки получаем:

$$k = \frac{\omega \cdot n_{Re}}{c} + j \cdot \frac{\omega \cdot \xi}{c}$$

Подставим это в выражение (4), после чего получим:

$$E(x, t) = E_0 \cdot \exp \left[ -j \cdot \left( \omega t - \left( \frac{\omega \cdot n_{Re}}{c} + j \cdot \frac{\omega \cdot \xi}{c} \right) \cdot x \right) \right] = \dots = E_0 \cdot \exp \left( -\frac{\omega \cdot \xi \cdot x}{c} \right) \cdot \exp \left( -j \cdot \left( \omega t - \frac{\omega \cdot n_{Re} \cdot x}{c} \right) \right)$$

  
Уменьшающаяся амплитуда поля по мере роста координаты  $x$ .

Заметим, что в этом выражении нарочито не учтены какие-либо источники потерь энергии, т.е. предполагалось, что  $\gamma = 0$  и т.д.

При этом видно, что **происходит потеря энергии** по мере **распространения света в веществе**. Эта **энергия тратится на осуществление поляризации вещества и движение поляризованных молекул под действием внешнего поля** !

Происходит рассеяние света в веществе.

## Спектральный состав излучения

Пусть электрон начинает колебаться в момент времени  $t = 0$ . Его смещение относительно положения равновесия будет иметь вид:

$$x(t) = \begin{cases} 0, & t < 0; \\ \exp[-\gamma t/2 \cdot (A_0 \cdot \exp(j\omega_0 t) + A_0^* \cdot \exp(-j\omega_0 t))], & t > 0 \end{cases}$$

$A_0$  – амплитуда колебаний электрона.

Энергия, излучённая в интервале  $0 < t < \infty$  имеет вид:

$$\mathcal{E} = - \int_0^\infty \frac{\partial \mathcal{E}}{\partial t} \cdot dt = \frac{1}{6\pi\epsilon_0} \cdot \frac{e^2}{c^3} \cdot \int_{-\infty}^\infty \ddot{x}^2 \cdot dt. \quad (5)$$

Здесь использовалось равенство для мощности излучения:  $P = \frac{1}{6\pi\epsilon_0} \cdot \frac{e^2}{c^3} \cdot \ddot{x}^2$

Принимая следующие два условия:

$$1. \ddot{x} \approx -\omega_0^2 \cdot x, \text{ и} \quad (*)$$

2.  $\gamma \ll \omega_0$ , а также представляя  $x(t)$  в виде ряда Фурье:

$$x(t) = \frac{1}{2\pi} \cdot \int_{-\infty}^{\infty} e^{j\omega t} \cdot d\omega \cdot \int_{-\infty}^{\infty} x(\zeta) \cdot e^{-j\omega\zeta} \cdot d\zeta = \frac{1}{2\pi} \cdot \int_{-\infty}^{\infty} F(\omega) \cdot e^{j\omega t} \cdot d\omega \quad (**)$$

Здесь было введено обозначение:  $F(\omega) = \int_{-\infty}^{\infty} x(t) \cdot e^{-j\omega t} \cdot dt = \int_0^{\infty} x(t) \cdot e^{-j\omega t} \cdot dt$ .

С учётом того, что при  $t < 0$  имеет место  $\ddot{x} = 0$ , а также подставляя (\*) и (\*\*) в (5), получаем (записан конечный результат без промежуточных выкладок):

$$\mathcal{E} = \frac{1}{24\pi^3\epsilon_0} \cdot \frac{e^2}{c^3} \cdot \omega_0^4 \cdot \int_{-\infty}^{\infty} \int_{-\infty}^{\infty} F(\omega) \cdot F(\zeta) \cdot d\omega d\zeta \cdot \int_{-\infty}^{\infty} e^{j(\omega+\zeta)t} dt.$$

Учитывая, что  $\int_{-\infty}^{\infty} e^{j(\omega+\zeta)t} dt = 2\pi\delta(\omega + \zeta)$  (Согласно справочнику по математике, Корн), получаем (без промежуточных выкладок):

$$\begin{aligned} \mathcal{E} &= \frac{1}{12\pi^2\epsilon_0} \cdot \frac{e^2}{c^3} \cdot \omega_0^4 \cdot \int_{-\infty}^{\infty} \int_{-\infty}^{\infty} F(\omega) \cdot F(\zeta) \cdot \delta(\omega + \zeta) \cdot d\omega d\zeta = \dots = \\ &= \frac{1}{6\pi^2\epsilon_0} \cdot \frac{e^2}{c^3} \cdot \omega_0^4 \cdot \int_{-\infty}^{\infty} F(\omega) \cdot F(-\omega) \cdot d\omega = \int_0^{\infty} \mathcal{E}_{\text{плотн}}(\omega) \cdot d\omega \end{aligned}$$

Здесь учтено, что  $F(\omega) \cdot F(-\omega)$  – чётная функция относительно  $\omega$ . Далее «убирая» знак интеграла можно записать:

$\mathcal{E}_{\text{плотн}} = \frac{1}{6\pi^2\epsilon_0} \cdot \frac{e^2}{c^3} \cdot \omega_0^4 \cdot F(\omega) \cdot F(-\omega)$ . Получена зависимость распределения энергии по частотам. Следующая задача – найти непосредственно  $F(\omega)$ .

Для этого запишем (эта ЭВРИСТИКА, которая записана ниже, принадлежит тов. Лорентцу!):

$$F(\omega) = \int_0^{\infty} A_0 \cdot \exp[(-\gamma/2 + j(\omega_0 - \omega) \cdot t] \cdot dt + \int_0^{\infty} A_0^* \cdot \exp[(-\gamma/2 - j(\omega_0 - \omega) \cdot t] \cdot dt = \\ = \frac{A_0}{\gamma/2 - j(\omega_0 - \omega)} + \frac{A_0^*}{\gamma/2 + j(\omega_0 - \omega)}$$

Вновь принимая во внимание условие:  $\gamma \ll \omega_0$ , и то, что рассмотрение ведётся в диапазоне частот  $\omega \approx \omega_0$ , слагаемые в записанном выражении будут сильно отличаться по частотам, и будет справедливо следующее:

$$F(\omega) \cdot F(-\omega) = \frac{A_0}{\gamma/2 - j(\omega_0 - \omega)} \times \frac{A_0^*}{\gamma/2 + j(\omega_0 - \omega)} = \frac{A_0 A_0^*}{(\gamma/2)^2 + (\omega_0 - \omega)^2}$$

**Тогда плотность энергии окажется равной:**

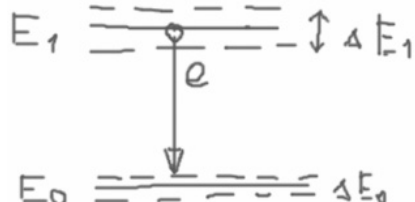
$$\mathcal{E}_{\text{плотн}} = \frac{1}{6\pi^2 \epsilon_0} \cdot \frac{e^2}{c^3} \cdot \omega_0^4 \cdot \frac{A_0 A_0^*}{(\gamma/2)^2 + (\omega_0 - \omega)^2}$$

Давайте изучим полученное выражение. Видно, что максимум интенсивности лежит вблизи  $\omega \approx \omega_0$ . При удалении  $\omega$  от  $\omega_0$  интенсивность сильно снижается.

На частотах  $\omega_1 = \omega_0 - \gamma/2$  и  $\omega_1 = \omega_0 + \gamma/2$  плотность энергии уменьшается в 2 раза.

Таким образом, основная часть спектральной энергии излучается в интервале  $\delta\omega = \gamma$ .

Причина излучения энергии в определённом спектральном диапазоне состоит в наличии уширений энергетических электронных уровней.



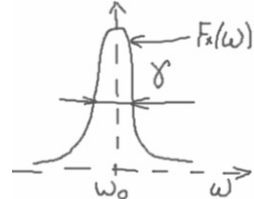
Среднее время жизни электрона на уровне обратно пропорционально его уширению:  $\Delta E_1 \sim 1/\tau_{ж1}$ , и так далее.

В идеальной физической системе уширение стабильного уровня ( $E_0$ ) должно быть равно нулю – т.к. там электрон может пребывать бесконечно долго. Но из-за наличия возбуждений атома (молекулы) электрон уходит со стабильного уровня, тем самым время жизни на нём становится конечным. Это и приводит к  $\Delta E_0 \neq 0$ .

## ЛЕКЦИЯ 3.

## УШИРЕНИЯ СПЕКТРА ИЗЛУЧЕНИЯ

Итак, электромагнитное поле всегда излучается не на единственной частоте, а в определённом спектральном диапазоне. При отсутствии каких-либо воздействий форма



спектральной плотности есть **ЛОРЕНЦЕВА ФОРМА**:

Формулу для  $\mathcal{E}_{\text{плотн}}$  (полученную на прошлой лекции) удобно представить в виде:

$$\mathcal{E}_{\text{плотн}} = 2mA_0 A_0^* \omega_0^2 F_L(\omega).$$

Здесь  $F_L(\omega)$  — **НОРМИРОВАННАЯ ЛОРЕНЦЕВА ФОРМА**, которая равна:

$$F_L(\omega) = \frac{\gamma/2\pi}{(\gamma/2)^2 + (\omega_0 - \omega)^2}$$

Условие нормировки:  $\int_{-\infty}^{\infty} F_L(\omega) d\omega = 1$

На оптических частотах имеет место:  $\gamma/\omega_0 \approx 10^{-7}$ .

Время излучения  $\tau \approx 2/\gamma \approx 2/\delta\omega$ . Чем меньше  $\tau$ , тем выше  $\gamma$ . Строго монохроматическое излучение возможно при бесконечном времени излучения.

Однако в реальной физической картине мира ширина спектра излучения, как правило, **превосходит  $\gamma$  — появляются УШИРЕНИЯ**.

Это **связано с различными взаимодействиями** атомов, молекул и электромагнитных полей от внешних источников.

Уширения бывают

ОДНОРОДНЫЕ

и

НЕОДНОРОДНЫЕ.

1. одинаковое значение уширения для всех атомов вещества

разные значения уширений

2. форма уширения одинакова для различных «сторон» функции  $F(\omega)$ ,

разные «бока» у функции  $F(\omega)$

Ниже перечислены **наиболее распространённые виды уширений** спектра излучения для диэлектрических и полупроводниковых материалов.

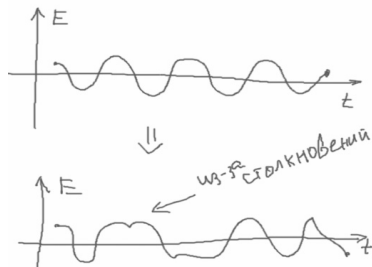
### 1). УДАРНОЕ УШИРЕНИЕ.

Появление дополнительного параметра  $\Delta\omega_{уд}$  из-за ударного взаимодействия частиц.

При нормальной температуре время, в течение которого в твёрдом теле **не происходит столкновений частиц, примерно равно**  $\tau_{уд} \approx 10^{-11}$  с.

А как упоминалось выше, **время излучения**, связанное с квантовой природой вещества (так называемое **ЕСТЕСТВЕННОЕ ВРЕМЯ ИЗЛУЧЕНИЯ**), примерно составляет  $10^{-7} \div 10^{-8}$  с.

Очевидно, что на протяжении излучения атомы соударяются. Это приводит к «усложнению вида функции излучения»:



Во время удара *скакком изменяется фаза колебаний* – на произвольную величину.

Из-за того, что *функция усложняется*, её *спектр обогащается гармониками*. Это и есть уширение спектра.

Усреднённая спектральная плотность мощности при наличии ударных уширений приблизительно равна:

$$\mathcal{E}_{плотн}(\omega) = \frac{1}{2} \cdot \frac{1}{(1/\tau_0)^2 + (\omega_0 - \omega)^2}$$

### 2). ДОПЛЕРОВСКОЕ УШИРЕНИЕ.

Происходит из-за того, что при нормальной температуре частицы движутся.

Эффект Доплера – это эффект изменения частоты излучения из-за движения излучателя

Аналогично, усреднённая спектральная плотность мощности при наличии доплеровских уширений приблизительно равна:

$$\mathcal{E}_{плотн} = \exp \left[ -Mc^2 \frac{(\omega - \omega_0)^2}{2\omega_0^2 \cdot kT} \right]$$

M – масса движущегося атома, k – постоянная Больцмана, T – температура.

### 3). УШИРЕНИЯ из-за ВЛИЯНИЯ ВНЕШНИХ ЭЛЕКТРИЧЕСКИХ И МАГНИТНЫХ ПОЛЕЙ.

При наличии  $E = E(\text{const}(t))$  или  $B = B(\text{const}(t))$  происходит сдвиг уровней энергии электронов и одновременное их расщепление.

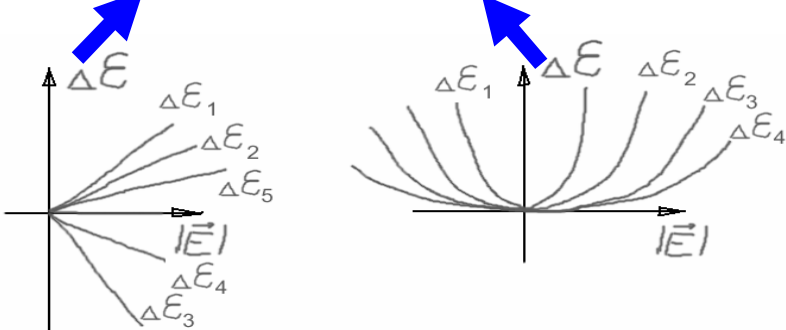
В зависимости от того, это **E или B** – подразделяют на эффекты **Штарка** или **Зеемана**.

**Эффект Штарка:** расщепление и смешивание энергетических уровней под действием электрических полей  $E$ .

Так квантовая система приобретает дополнительную энергию  $\Delta E$  из-за ИЗМЕНЕНИЯ в движении заряженных частиц под действии внешнего поля  $\vec{E}$ . Уровни смешаются.

Обычно строятся графические зависимости  $\Delta E(\vec{E})$ .

Существует подразделение на **линейный** и **нелинейный** эффекты Штарка.



Для различных номеров уровней (главных квантовых чисел): 1, 2, 3 и т.д. получаются различные приращения энергии  $\Delta E_1$ ,  $\Delta E_2$ ,  $\Delta E_3$ , и т.д.

Кроме этого, различным уровням соответствует РАЗЛИЧНАЯ СТЕПЕНЬ ВЫРОЖДЕНИЯ.

Для атома водорода в отсутствие поля:  $E_2 - \Delta E_1 = \hbar \cdot \omega_0$ .

При наличии поля имеют место величины:  $\Delta E_1$ ,  $\Delta E_2$ , равные:  $\Delta E_1 = -3 \cdot \frac{\alpha^2 \cdot E^2}{E_2 - E_1}$  и

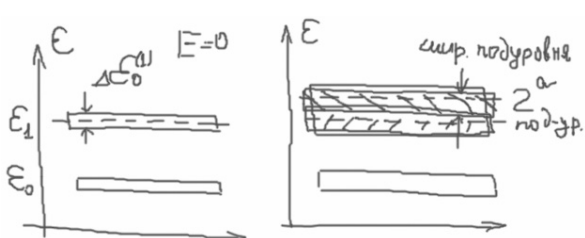
$$\Delta E_2 = -\frac{\alpha^2 \cdot E^2}{E_2 - E_1}.$$

Здесь  $\alpha$  – СТЕПЕНЬ ВЫРОЖДЕНИЯ – количество совмещённых подуровней, на которые может расщепиться уровень.

Следовательно, частота перехода меняется на величину:  $\Delta \omega = \frac{\Delta E_2 - \Delta E_1}{\hbar} =$

$$= \frac{2\alpha^2 E^2}{\hbar} \cdot \frac{1}{E_2 - E_1} = \frac{2\alpha^2 E^2}{\hbar^2 \cdot \omega_0}$$

Если  $\alpha_1 = \alpha_2 = \alpha$



**Эффект Зеемана** связан с аналогичным влиянием магнитного поля.

В обоих случаях: если величина расщепления уровня меньше ширины под-уровня, то рядом лежащие под-уровни перекрываются. Спектральные линии также сливаются.

Если внешние поля **E** или **B** зависят от координат, то в разных точках вещества уширение различное. Суммарно они образуют спектральную линию большой ширины.

#### 4). УШИРЕНИЕ из-за НАСЫЩЕНИЯ.

При увеличении интенсивности падающей волны происходит **НАСЫЩЕНИЕ** оптически прозрачной среды: преобладание оптического электрона в возбуждённом состоянии.

Населённость **нестабильного уровня**  $n_1$  становится выше населённости **стабильного уровня**  $n_2$ . Световой поток перестаёт поглощаться, среда просветляется.

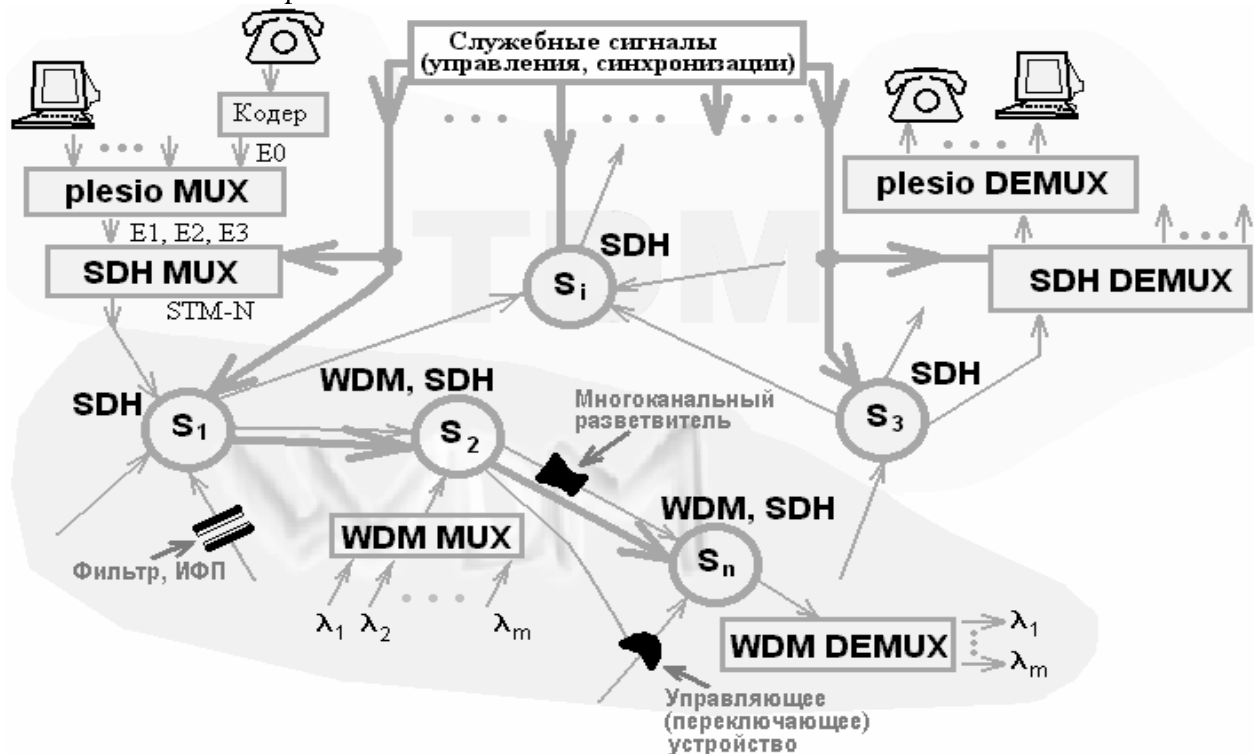
*Более тонкое описание процесса:* каждый вновь приходящий **фотон поглощается, но тут-же излучается вновь**. И так на **всём протяжении по пути распространения** светового пучка. **Интенсивность** пучка при этом **не падает, но происходит уширение спектра** – из-за **взаимодействия с электроном** вида «**прыг-скок туда-сюда**».

*Ход изучения материала: физика  $\Rightarrow$  техника  $\Rightarrow$  физика  $\Rightarrow$  техника и т.д.*

Далее остановимся на организации оптоволоконных телекоммуникаций, в первую очередь на световодах и световодных структурах.

Типовая система оптоволоконной системы связи (основные компоненты ВОЛП):

1. оптический передатчик,
2. световодный кабель,
3. усилитель (использующийся на линии, повторитель),
4. оптоволоконные компоненты управления,
5. оптический приёмник.



**В открытых оптических системах связи – пучок света распространяется в свободном пространстве.**

Раз уж мы начали заниматься оптикой, то поговорим о световодах и оптических устройствах управления. Про оптоэлектронные устройства будем говорить позже.

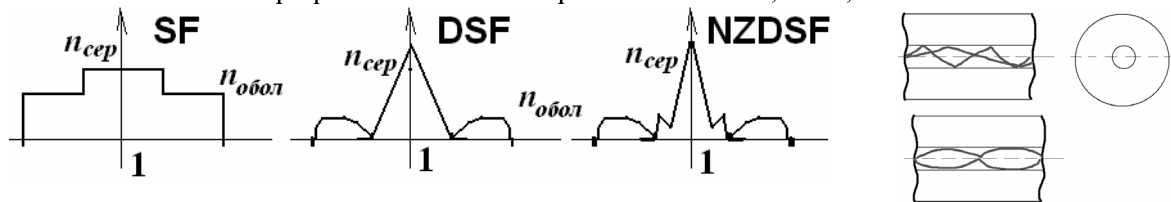
**Основные типы световодов:** подразделяются по типу ПРОФИЛЯ показателя преломления.

Понятия: СВЕТОВОД, ПОЛНОЕ ВНУТРЕННЕЕ ОТРАЖЕНИЕ, МОДЫ в световодах.

Ступенчатые, градиентные волокна и волокна со специальным профилем показателя преломления

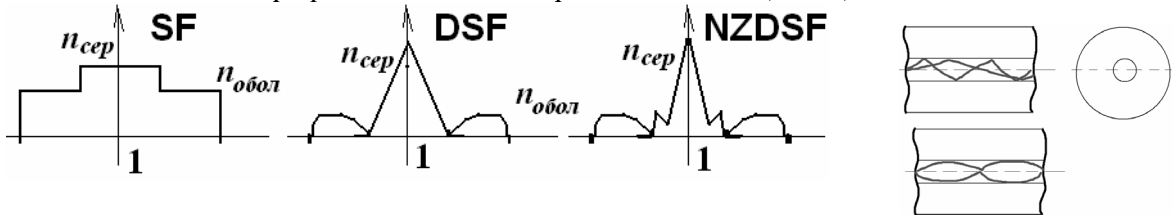
Одномодовые и многомодовые световоды – МОДЫ В СВЕТОВОДАХ

В зависимости от профиля показателя преломления: SF, DSF, NZDSF.



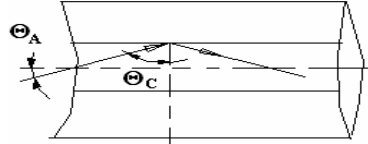
## ЛЕКЦИЯ 4.

В зависимости от профиля показателя преломления: SF, DSF, NZDSF.



$$\Delta_{fib} = \left( n_{cep}^2 - n_{ob}^2 \right) / 2n_{cep}^2, \quad n_1 \cdot \sin \Theta_1 = n_2 \cdot \sin \Theta_2$$

Критический угол:  $\Theta_c = \arcsin \left( \frac{n_{ob}}{n_{cep}} \right)$



Числовая апертура световода:  $NA = \sin(\Theta_A) = \sqrt{n_{cep}^2 - n_{ob}^2} = n_{cep} \cdot \sqrt{2\Delta_{fib}}$  - для SF-волокна,

Для градиентного волокна:  $NA = \sqrt{n_{cep}(0)^2 - n_{ob}^2} / \sqrt{2}$ ,

Количество устойчивых мод в световоде:  $V = 2\pi \cdot r \cdot NA / \lambda$ .  
r - радиус сердцевины и NA - числовая апертура.

Критерий распространения одной моды:  $V < 2,405$ ; с ростом V количество мод начинает резко расти.

Количество устойчиво распространяющихся мод для многомодового SF-световода:

$$N_m \cong \left[ \frac{1}{2} \cdot V^2 \right] = \left[ \frac{1}{2} \cdot \left( \frac{\pi d}{\lambda} \cdot NA \right)^2 \right] = \left[ \frac{1}{2} \cdot \left( \frac{\pi d}{\lambda} \right)^2 \cdot \left( n_1^2 - n_2^2 \right) \right]$$

$n_1 > n_2$ ,  
 $n_1$  – сердцевины, и  $n_2$  - оболочки

d – диаметр сердцевины.

Скобки [ ] – операция выделения целой части рациональ. числа

Нормиров. частота	$0 \div 2,405$	$2,405 \div 3,832$	$3,832 \div 5,136$	$5,136 \div 5,52$
Число устойчиво распр. мод	1	4	7	9

Для градиентного световода:

$$\text{Если } n(r) = \begin{cases} n_1 \cdot \sqrt{1 - 2\Delta_{fib} \cdot \left( \frac{r}{a} \right)^2}, & 0 \leq r \leq a \\ n_2, & a \leq r \leq b \end{cases}, \text{ тогда } N_m = \frac{1}{4} \cdot \left( \frac{\pi d}{\lambda} \right)^2 \cdot \left( n_1^2 - n_2^2 \right)$$

Здесь  $n_1$  и  $n_2$  – максимальные числовые значения соотв. показателей преломления.  
a и b – соотв. радиус сердцевины и оболочки.

Важный параметр световодов - ДЛИНА ВОЛНЫ ОТСЕЧКИ:  $\lambda_{CF}$

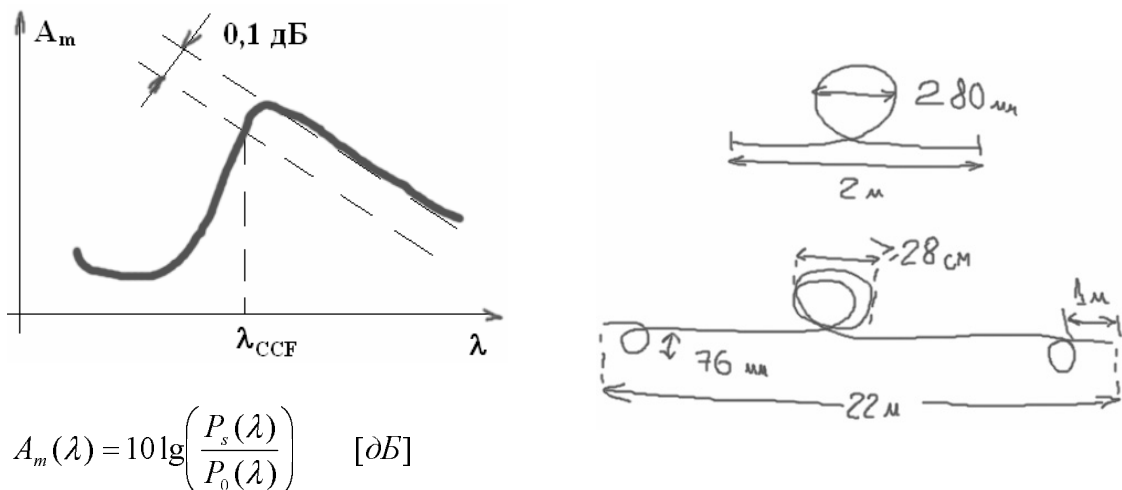
$\lambda_{CF}$  – такая длина волны, на которой начинает распространяться единственная мода

$\lambda_{CF}$  – без учёта внешних воздействий,  
 $\lambda_{CCF}$  – с учётом воздействий и деформаций.

**Изгибы и деформация приводят к подавлению побочных мод** и уменьшению длины волны отсечки:  $\lambda_{CF} > \lambda_{CCF}$

$$\lambda_{CF} = \frac{\pi d \cdot NA}{2,405} = 1,847 \cdot d \cdot n_1 \cdot \sqrt{\Delta_{fib}}$$

**Метод экспериментального измерения  $\lambda_{CCF}$  – путём измерения передаваемой мощности через волокно (длиной 2 м). Волокно сложено определённым образом:**



Оценка интенсивности рассеянного света:  $I(\varphi) = \frac{9\pi^2}{2N^2\lambda^4} \cdot \left( \frac{n^2 - 1}{n^2 + 2} \right)^2 \cdot (1 - \cos^2 \varphi) \cdot S_0$

$S_0$  – плотность потока энергии во входной волне,  $N$  – концентрация рассеивателей,  $n$  – показатель преломления среды



При рассеянии наблюдается изменение поляризации световых волн:

$$\rho = \frac{I_{\perp}(\varphi) - I_{\parallel}(\varphi)}{I_{\perp}(\varphi) + I_{\parallel}(\varphi)} = \frac{\sin^2 \varphi}{1 + \cos^2 \varphi} \text{ - коэффициент рассеяния.}$$

$I_{\perp}(\varphi)$  - интенсивность излучения на перпендикулярный составл. соляризации,

$I_{\parallel}(\varphi)$  - интенсивность излучения на параллельный составл. соляризации,

Коэффициент ослабления пучка света в рассеянии Рэлея:  $\alpha_{P_s} = \frac{24\pi^3}{N\lambda^4} \cdot \left( \frac{n^2 - 1}{n^2 + 2} \right)^2$

Закон, по которому происходит ослабление светового пучка:  $S(x) = S(0) \cdot e^{-\alpha \cdot x}$

Оценочный коэффициент ослабления пучка в рассеянии Ми:  $\alpha_{Mu} \approx \frac{2\pi a}{\lambda}$   
a – радиус рассеивателя.

$\alpha_{rad}$  составляют до 20% от потерь на рассеяние.

Суммарные потери:  $\alpha_{\Sigma} = \sum \alpha_i$  по всем видам потерь.

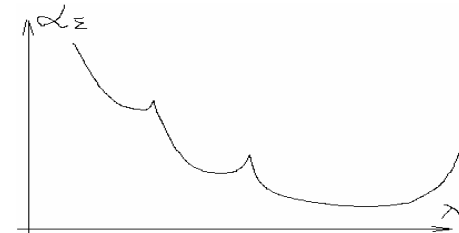
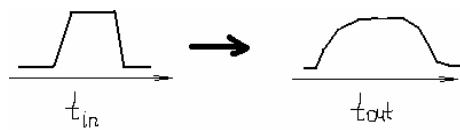


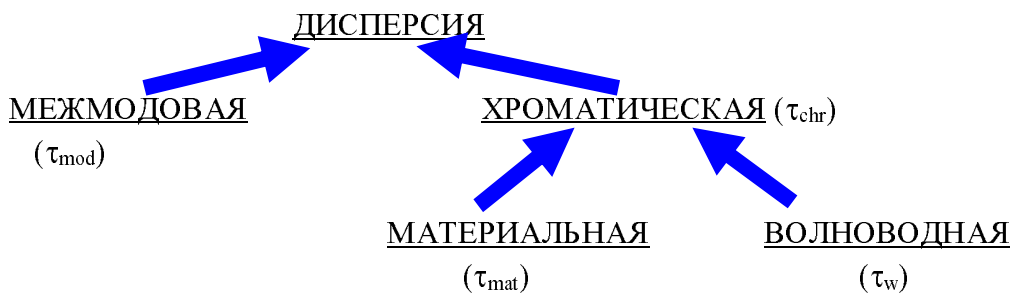
График потерь, присущий кварцевым световодам:

## ДИСПЕРСИЯ В ВОЛОКННОЙ ОПТИКЕ

Дисперсионные эффекты приводят к расплыванию (уширению длительности) информационных импульсов на величину:  $\tau(L) = \sqrt{t_{out}^2 - t_{in}^2}$  после прохождения сигналом оптоволоконного сегмента длины  $L$ .



Здесь  $t_{out}$  и  $t_{in}$  – длительности выходного и входного импульсов. При большом уширении импульсы перекрываются, так что становится невозможным их выделение при приеме, также возникает межсимвольная интерференция.



Суммарное влияние дисперсии определяется через соотношение:

$$\tau^2 = \tau_{mod}^2 + (\tau_{mat} + \tau_w)^2.$$

Далее рассмотрим эти основные факторы, которыми определяется дисп.:

- различием скоростей распространения направляемых мод (межмодовой дисперсией, характеризующейся  $\tau_{mod}$ ), имеет место в многомодовых направляющих структурах.

Для ступенчатой многомодовой структуры справедливо следующее:

$$\tau_{mod}(L) \cdot L = \begin{cases} \frac{n_{sep} \Delta_{fib}}{c} \cdot L, & L < L_{cat}; \\ , \\ \frac{n_{sep} \Delta_{fib}}{c} \cdot \sqrt{L \cdot L_{cat}}, & L > L_{cat} \end{cases}$$

$L_{cat}$  - длина межмодовой связи (для ступенчатого волокна порядка **5 км**, для градиентного - порядка **10 км**). Величина  $L_{cat}$  характеризует переход оптической энергии из одной моды полностью в другую, и наоборот.

Величина  $\Delta_{fib}$  – нормируемый для световодов параметр, см. выше

Здесь  $n_{sep}$  и  $n_{ob}$  – коэффициенты преломления сердцевины и оболочки световода соответственно,  $c$  – скорость света в вакууме. В случае многомодовой градиентной структуры вид зависимости справедливо эффективное значение  $\hat{\Delta}_{fib}$ ,

$$\text{для параболического профиля справедливо: } \hat{\Delta}_{fib} = \frac{\Delta_{fib}^2}{2}.$$

*Полоса пропускания оптоволоконной направляющей структуры:  $W \approx 0,44 / \tau$ , значения которой измеряются в [МГц·км].* Видно, что дисперсия накладывает ограничения на дальность передачи и верхнюю частоту передаваемых сигналов. Физический смысл  $W$  - максимальная частота (частота модуляции) передаваемого сигнала при длине линии в 1 км.

- Различием условий распространения мод, именуемой хроматической дисперсией:

- свойствами оптического материала (материальной дисперсией  $\tau_{mat}$ ), обусловленной зависимостью показателя преломления сердцевины волокна от длины волны. Для одномодового волокна имеет место следующее:

$$\tau_{mat}(\Delta\lambda, L) = \Delta\lambda \cdot L \cdot \frac{\lambda}{c} \cdot \frac{d^2 n_{sep}}{d\lambda^2} = \Delta\lambda \cdot L \cdot \tilde{M}_d(\lambda). \Rightarrow \text{МАТЕРИАЛЬНАЯ}$$

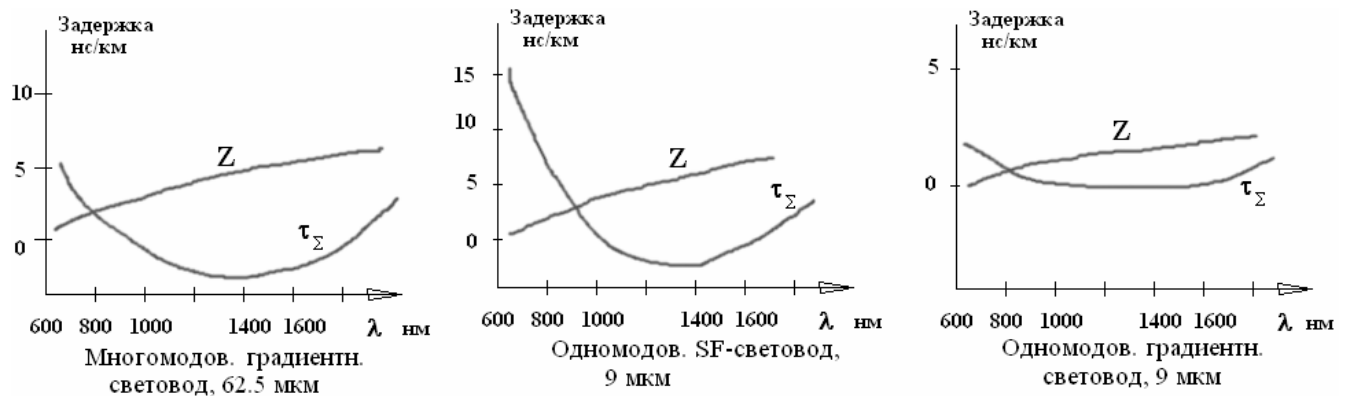
- направляющими свойствами световодной структуры (волноводной дисперсией  $\tau_w$ ), обусловленной зависимостью коэффициента распространения моды от длины волны:

$$\tau_w(\Delta\lambda, L) = \Delta\lambda \cdot L \cdot \frac{2n_{sep}^2 \cdot \Delta_{fib}}{c\lambda} = \Delta\lambda \cdot L \cdot \tilde{N}_d(\lambda), \Rightarrow \text{ВОЛНОВОДНАЯ}$$

коэффициенты  $\tilde{M}_d(\lambda)$  и  $\tilde{N}_d(\lambda)$  - удельные материальная и волноводная дисперсии соответственно, а  $\Delta\lambda$  [нм] - уширение длины волны излучения, которое имеет место по ряду физических причин: конечной когерентности источника излучения, из-за действия нелинейных оптических эффектов, и т.д. Результирующее значение коэффициента удельной хроматической дисперсии определяется как  $\tilde{Z}_d(\lambda) = \tilde{M}_d(\lambda) + \tilde{N}_d(\lambda)$  с размерностью [пс/(нм·км)].

Если коэффициент волноводной дисперсии  $\tilde{N}_d(\lambda) > 0$ , то коэффициент материальной дисперсии  $\tilde{M}_d(\lambda) > 0$  или  $\tilde{M}_d(\lambda) < 0$ .

Для  $\lambda = 1310 \pm 10$  нм происходит взаимная компенсация величин  $\tilde{M}_d(\lambda)$  и  $\tilde{N}_d(\lambda)$ , и результирующая дисперсия  $\tilde{Z}_d(\lambda)$  обращается в ноль. Фирмой Corning разработан метод оценки удельной хроматической дисперсии  $\tilde{Z}_d(\lambda)$ .



Формула СЕЛМЕЙЕРА для оценки хроматической дисперсии:

$$\tau(\lambda) = A + B \cdot \lambda^2 + C \cdot \frac{1}{\lambda^2}, \quad A, B \text{ и } C \text{ -- эмпирические коэффициенты.}$$

$$\text{Тогда } \tilde{Z}_d(\lambda) = \frac{\partial \tau(\lambda)}{\partial \lambda} = 2 \left( B\lambda - C \frac{1}{\lambda^3} \right) = \frac{Z_0}{4} \cdot \left( \lambda - \frac{\lambda_0^4}{\lambda^3} \right).$$

Здесь:  $\lambda_0 = \sqrt[4]{C/B}$  - длина волны нулевой дисперсии,  $Z_0 = 8 \cdot B$  - наклон нулевой дисперсии.

$\lambda$  – рабочая длина волны излучения.

СПЕЦИАЛЬНОЕ ВОЛОКНО – со смешением дисперсии типа DSF или NZDSF:

$$\tau(\lambda) = A + B \cdot \lambda + C \cdot \ln(\lambda)$$

и

$$\tilde{Z}_d(\lambda) = \frac{\partial \tau(\lambda)}{\partial \lambda} = B + C + C \cdot \ln(\lambda) = \lambda_0 \cdot Z_0 \cdot \ln\left(\frac{\lambda}{\lambda_0}\right)$$

Здесь:  $\lambda_0 = \exp\left(-\left(1 + \frac{B}{C}\right)\right)$  и  $Z_0 = C/\lambda_0$ .

В этом случае  $\tau_{\text{chr}} = \tilde{Z}_d(\lambda) \cdot \lambda$ .

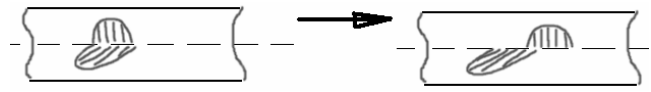
		$\lambda, \text{ нм}$	$\tilde{Z}_d(\lambda)$
Многомодовый световод	50 мкм	850	99,6
		1310	1,0
		1550	19,2
	62,5 мкм	850	106,7
		1310	4,2
		1550	17,3
Одномодовый световод	SF	1310	< 1,8
		1550	17,5
	DSF	1310	21,2
		1550	< 1,7

Видно, что минимум дисперсии не всегда соответствует минимуму затухания!

**ЦЕЛЬ СМЕЩЕНИЯ ДИСПЕРСИИ (в DSF и NZDSF) – вынести длину волны  $\lambda_0$  за 3-е окно прозрачности в инфракрасную область.**

В случае нециркулярности (овальности) профиля сердцевины волноводной структуры добавляется слагаемое  $\tau_{\text{pmd}}^2$ , характеризующее поляризационную модовую дисперсию, связанную с различием условий распространения мод перпендикулярных поляризаций.

$$\tau_{\text{pmd}} = T(\lambda) \cdot \sqrt{L}$$



Интегральные характеристики волокон:

